

УДК 621.833.2(31)

В. Н. Сызранцев, доктор технических наук, профессор

К. В. Сызранцева, кандидат технических наук, доцент

А. А. Пазяк, аспирант

Тюменский государственный нефтегазовый университет

## РАСЧЕТ ГЕОМЕТРИЧЕСКИХ ХАРАКТЕРИСТИК ПОЛУОБКАТНОЙ ПРЯМОЗУБОЙ ПЛОСКОКОНИЧЕСКОЙ ПЕРЕДАЧИ

В настоящей работе рассматривается полуобкатная прямозубая плоскоконическая передача, изготовление зубьев колес которой значительно упрощается в сравнении с обкатными передачами. Вследствие многопарности зацепления зубьев она является конкурентоспособной при создании высоконагруженных приводов, условия эксплуатации которых характеризуются невысокими угловыми скоростями и кратковременным режимом работы.

**Ключевые слова:** соосный редуктор, полуобкатная плоскоконическая передача, прямые зубья.

Разработанные на основе плоскоконической прецессирующей передачи соосные редукторы [1, 2] позволяют создавать компактные приводы нефтегазового оборудования [3, 4], имеющие высокий КПД (порядка 0,9), малый страгивающий момент, что важно для работы приводов в суровых условиях эксплуатации, широкий диапазон (от 10 до 65 и выше) передаточных чисел. К настоящему времени наиболее полно исследованы плоскоконические передачи с двояковыпукловогнутыми по длине зубьями [3, 4], технологические процессы нарезания которых не только весьма трудоемки, но и крайне сложны – требуют четыре переналадки зуборезного станка, поскольку каждая из сторон зуба шестерни и зуба колеса нарезается отдельно. В настоящей работе рассматривается полуобкатная прямозубая плоскоконическая передача, изготовление зубьев колес которой значительно упрощается. Несмотря на от-

сутствие локализации контакта в исследуемой передаче, вследствие многопарности зацепления зубьев, она является конкурентоспособной при создании высоконагруженных приводов, условия эксплуатации которых характеризуются невысокими угловыми скоростями и кратковременным режимом работы.

На рис. 1 показана схема передачи. Нарезание впадины зуба колеса передачи осуществляется инструментом с прямолинейной режущей кромкой. Колесо в процессе обработки остается неподвижным. Перед нарезанием каждой следующей впадины зуба колесо поворачивается на угол, кратный угловому шагу зуба, то есть реализуется метод единичного деления. В качестве инструмента могут использоваться резцы (нарезание без обкатки на зубострогальном станке), пальцевые либо дисковые фрезы (нарезание на фрезерном станке с поворотным столом).

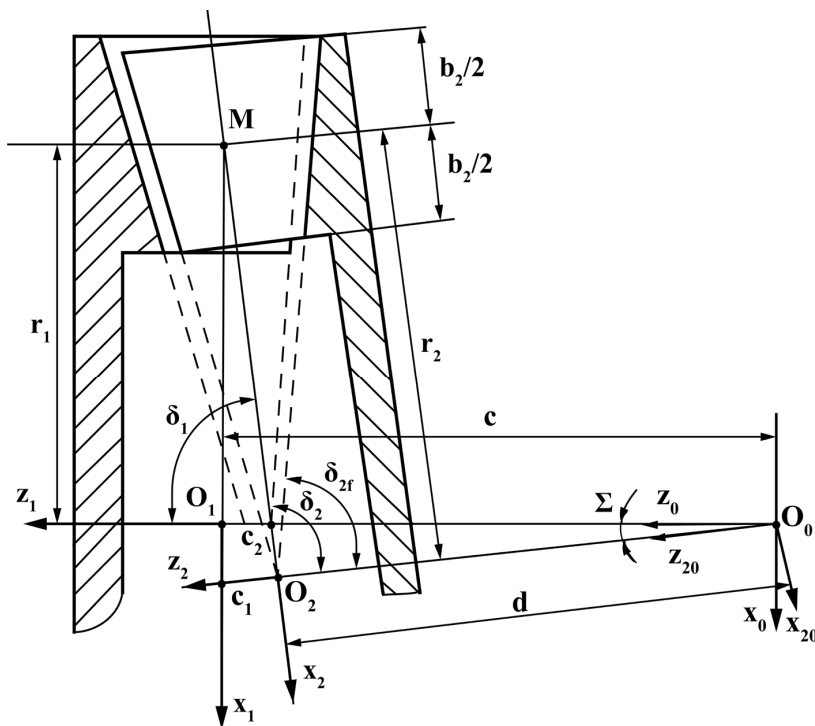


Рис. 1. Расчетная схема полуобкатной плоскоконической передачи и схема перехода от системы координат  $S_2$  к системе  $S_1$

Из описанного способа нарезания следует, что боковая поверхность зуба колеса представляет собой плоскость. Делительная поверхность зуба колеса представляет собой плоскость, проходящую через расчетную точку зуба  $M$ , параллельную плоскости  $x_2O_2y_2$  (перпендикулярно оси  $z_2$ ). Система координат  $S_2(x_2, y_2, z_2)$  жестко связана с колесом. Боковая поверхность зуба колеса в системе координат  $S_p(x_p, y_p, z_p)$ , ось  $y_p$  которой направлена по нормали к поверхности зуба, представляет собой плоскость, в этой системе координат ее уравнение имеет вид:

$$x_p = u; y_p = 0; z_p = h, \quad (1)$$

где  $u$  – линейная координата по длине зуба;  $h$  – линейная координата по профилю зуба колеса.

Представим радиус-вектор  $\vec{r}_p$  поверхности зуба колеса (плоскости) в системе координат  $S_p(x_p, y_p, z_p)$  в виде матрицы строки  $\tilde{r}_p = \|x_p; y_p; z_p; 1\|$ , элементами которой являются координаты  $x_p, y_p, z_p$ , а радиус-вектор поверхности зуба колеса  $\vec{r}_2$  в системе  $S_2(x_2, y_2, z_2)$  – в виде матрицы строки  $\tilde{r}_2 = \|x_2; y_2; z_2; 1\|$ , элементы которой представлены координатами  $x_2, y_2, z_2$ . Тогда поверхность зуба колеса в системе  $S_2(x_2, y_2, z_2)$  описывается зависимостью:

$$\tilde{r}_2 = \tilde{A}_{2p} \cdot \tilde{r}_p, \quad (2)$$

где  $\tilde{A}_{2p}$  – матрица четвертого порядка [5, 6], определяющая переход от системы координат  $S_p$  к системе координат  $S_2$ .

Раскрывая выражение (2), получим:

$$\left. \begin{aligned} x_2 &= u \cdot \cos\theta_{f_2} - h \cdot \sin\theta_{f_2} \cdot \cos\alpha_n - r_2, \\ y_2 &= -h \cdot \sin\alpha_n + t, \\ z_2 &= u \cdot \sin\theta_{f_2} + h \cdot \cos\theta_{f_2} \cdot \cos\alpha_n, \end{aligned} \right\} \quad (3)$$

где  $\theta_{f_2}$  – угол ножки зуба колеса;  $\alpha_n$  – угол профиля;  $r_2$  – среднее конусное расстояние колеса;  $t$  – половина толщины зуба колеса.

В исследуемой полуобкатной плоскоконической передаче поверхность зуба шестерни является огибающей в однопараметрическом движении поверхности зуба колеса. В качестве производящей поверхности выступает боковая поверхность прямого зуба колеса (плоскость). Обратимся к рис. 1, на котором показана система координат  $S_2(x_2, y_2, z_2)$ , жестко связанная с колесом, и система координат  $S_1(x_1, y_1, z_1)$ , жестко связанная с шестерней в процессе формообразования поверхности зуба шестерни.

При нарезании зубьев за счет кинематики станка при повороте зуба колеса вокруг своей оси на угол  $\varphi_2$  заготовка шестерни поворачивается во-

круг своей оси на угол  $\varphi_1$ , связанный с углом  $\varphi_2$  зависимостью:

$$\varphi_1 = \varphi_2 \cdot i, \quad i = z_2^* / z_1^*, \quad (4)$$

где  $i$  – передаточное отношение цепи обката станка;  $z_2^*$  – число зубьев колеса;  $z_1^*$  – число зубьев шестерни.

Координаты текущей точки поверхности зуба колеса (1) определяются двумя независимыми параметрами:  $u$  и  $h$ , то есть  $\tilde{r}_2 = \tilde{r}_2(u, h)$ . В силу отмеченного выше движения обкатки при формообразовании поверхности зуба шестерни матрица относительного движения  $\tilde{A}_{12}$  является функцией параметра  $\varphi_1$ :  $\tilde{A}_{12} = \tilde{A}_{12}(\varphi_1)$ . Радиус-вектор  $\vec{r}_1$  поверхности зуба шестерни в системе координат  $S_1(x_1, y_1, z_1)$  (рис. 1) в матричной форме представляется выражением:

$$\tilde{r}_1 = \tilde{A}_{12} \cdot \tilde{r}_2, \quad (5)$$

где  $\tilde{r}_1 = \|x_1, y_1, z_1, 1\|$  – матрица-строка, составленная из проекций координат радиуса-вектора  $\vec{r}_1$  поверхности зуба шестерни.

Раскрывая (5), получим:

$$\tilde{r}_1(u, h, \varphi_1) = \tilde{A}_{12}(\varphi_1) \tilde{r}_2(u, h). \quad (6)$$

Поскольку поверхность может иметь лишь два независимых параметра, для математического описания поверхности зуба шестерни необходимо установить дополнительную связь между параметрами  $\varphi_1, u$  и  $h$ . В теории зубчатых зацеплений [5] эта связь называется уравнением зацепления:

$$f(u, h, \varphi_1) = 0. \quad (7)$$

Если уравнение зацепления известно, то поверхность зуба шестерни, как огибающая семейства поверхности зуба колеса, описывается следующим образом [5, 6]:

$$\tilde{r}_1(u, h, \varphi_1) = \tilde{A}_{12}(\varphi_1) \tilde{r}_2(u, h); \quad f(u, h, \varphi_1) = 0. \quad (8)$$

Для определения уравнения зацепления в настоящей статье использован метод, предложенный в работе [6]. В результате зависимости, определяющие поверхность зуба шестерни, получены в виде:

$$x_1 = A_1 \cdot \cos\varphi_1 + B_1 \cdot \sin\varphi_1;$$

$$y_1 = -A_1 \cdot \sin\varphi_1 + B_1 \cdot \cos\varphi_1;$$

$$z_1 = \sin\Sigma \cdot (f_3 \cdot \sin\varphi_2 - f_1 \cdot \cos\varphi_2) + \cos\Sigma \cdot (f_2 + d) - c; \quad (9)$$

$$\varphi_2 = \arcsin \left[ -C_\varphi \left( \sqrt{A_\varphi^2 + B_\varphi^2} \right)^{-1} \right] - \xi,$$

где  $r_1$  – среднее конусное расстояние шестерни;  $\Sigma$  – межосевой угол в передаче, последним записано уравнение зацепления (7) и введены обозначения:

$$f_1 = u \cdot \cos\theta_{f_2} - h \cdot \sin\theta_{f_2} \cdot \cos\alpha - r_2;$$

$$f_2 = u \cdot \sin\theta_{f_2} + h \cdot \cos\theta_{f_2} \cdot \cos\alpha; f_3 = t - h \cdot \sin\alpha;$$

$$c = r_1 \cdot (i - \cos\Sigma) \cdot (\sin\Sigma)^{-1}; d = r_1 \cdot (i \cdot \cos\Sigma - 1) \cdot (\sin\Sigma)^{-1};$$

$$A_1 = \cos\Sigma \cdot (f_1 \cdot \cos\varphi_2 - f_3 \cdot \sin\varphi_2) + \sin\Sigma \cdot (f_2 + d);$$

$$B_1 = f_3 \cdot \sin\varphi_2 - f_1 \cdot \cos\varphi_2;$$

$$A_\phi = \sin\alpha \cdot \sin\Sigma \cdot (u + d \cdot \sin\theta_{f_2} - r_2 \cdot \cos\theta_{f_2});$$

$$B_\phi = -\sin\Sigma \cdot (f_2 \cdot \cos\alpha - f_3 \cdot \sin\alpha \cdot \cos\theta_{f_2} + d \cdot \cos\alpha);$$

$$C_\phi = (i^{-1} - \cos\Sigma) \cdot (f_1 \cdot \cos\alpha + f_3 \cdot \sin\theta_{f_2} \cdot \cos\alpha),$$

а угол  $\xi$  определяется на основе значений его тригонометрических функций:

$$\sin\xi = B_\phi \cdot \left(\sqrt{A_\phi^2 + B_\phi^2}\right)^{-1}; \quad \cos\xi = C_\phi \cdot \left(\sqrt{A_\phi^2 + B_\phi^2}\right)^{-1}.$$

Представленные формулы позволяют, с одной стороны, осуществлять анализ процесса формообразования боковых поверхностей зубьев шестерни, а с другой – исследовать характер зацепления зубьев колеса и зубьев шестерни в полуобкатной плоскоконической передаче, которая по способу формообразованию зубьев шестерни является сопряженной. На основе зависимостей (9) в среде MathCad разработана программа для исследования расположения и поведения мгновенных контактных линий в зацеплении зубьев полуобкатной плоскоконической передачи. В качестве иллюстрации работы программы на рис. 2 для ряда фиксированных значений угла поворота шестерни ( $\varphi_1 = -0,172; -0,115; -0,057; 0,0; 0,088; 0,177; 0,265$ ) показаны линии контакта ее поверхности с поверхностью зуба колеса полуобкатной плоскоконической передачи, имеющей параметры:  $z_1^* = 64; z_2^* = 65; \Sigma = 2^\circ$ ; модуль средний нормальный  $m_n = 5,0$  мм; коэффициент высоты зуба  $h_a^* = 1$ ; коэффициент радиального зазора  $c_o = 0,5$ ; ширина зуба  $b_2 = 25$  мм; угол начального конуса колеса  $\delta_2 = 90^\circ$ .

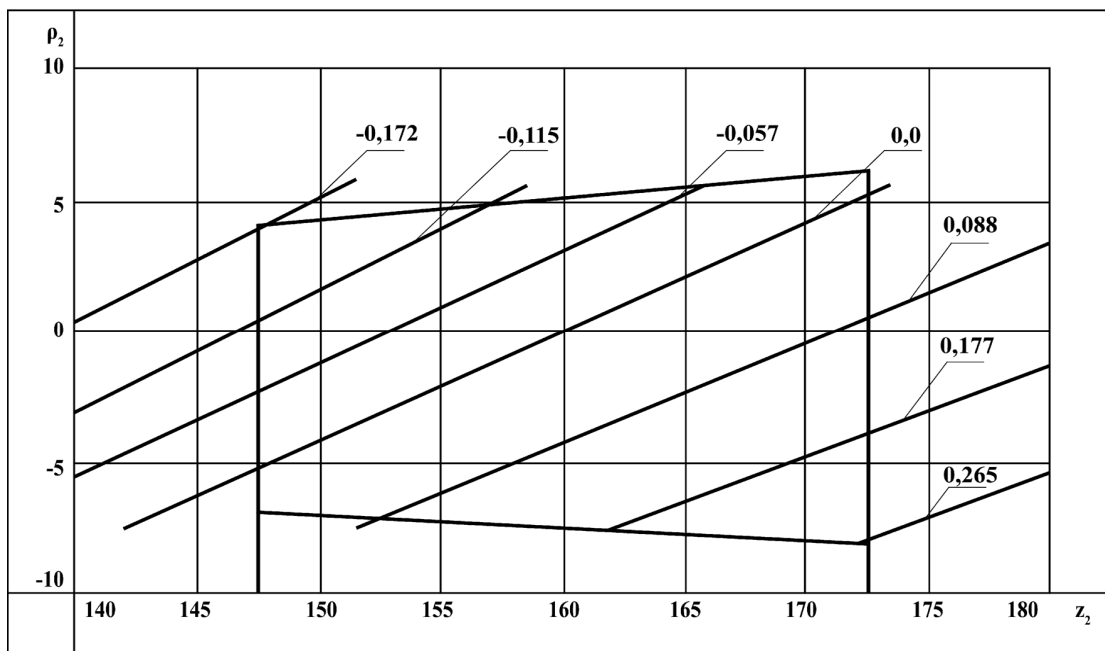


Рис. 2. Мгновенные линии контакта на поверхности зуба шестерни

В исследуемой полуобкатной передаче изменение угла  $\varphi_1$  от  $\varphi_{1\min} = -0,172$  до  $\varphi_{1\max} = 0,265$  соответствует предельно возможной фазе зацепления зубьев. Принимая во внимание величину углового шага зубьев на шестерне ( $t_1 = 2 \cdot \pi / z_1^* = 0,09817$ ), установив, что в передаче одновременно в зацеплении находятся  $(-\varphi_{1\min} + \varphi_{1\max})/t_1 = 4,45$  пар зубьев.

#### Библиографические ссылки

1. Патент № 2529943 на изобретение «Соосный редуктор», F16H 1/32, F04B 47/02, F04C2/107 / Ю. Г. Денисов, В. Н. Сызранцев, В. П. Вибе. Заявка № 2013117492/11,

зарегистрировано в Государственном реестре изобретений Российской Федерации 10.10.2014. Бюл. 28, RU.

2. Патент № 2334125 на изобретение «Установка скважинного винтового насоса», F04C 2/107, F04B 47/02 / Ю. Г. Денисов, Э. В. Ратманов, В. Н. Сызранцев, Д. М. Плотников. Заявка № 2006143129/06, зарегистрировано в Государственном реестре изобретений Российской Федерации 20.09.2008, Бюл. 26, RU.

3. Syzrantsev V., Golofast S. Drives of Pipelines' Block Valve based on the Pan Precess Gear // Global Journal of Researches in Engineering: A Mechanical and Mechanics Engineering (USA). Vol. 14 Issue 2 Version 1.0 Year 2014. P 15–17.

4. Сызранцев В. Н., Новоселов В. В., Голофаст С. Л. Приводы на основе прецессирующей передачи для запорной

арматуры трубопроводов // Известия вузов. Нефть и газ. – 2011. – № 6. – С. 87–90.

5. Литвин Ф. Л. Теория зубчатых зацеплений. – 2-е изд., перераб. и доп. – М.: Наука, 1968. – 584 с.

6. Ерихов М. Л. Синтез зубчатых зацеплений по условиям нечувствительности к погрешностям монтажа // Автомобильный транспорт. Сер. Теория механизмов и детали машин. – Вып 17. – Хабаровск, 1969. – С. 2–36.

\* \* \*

*Syzrantsev V. N.*, DSc in Engineering, Professor, Tyumen State Oil and Gas University;

*Syzrantseva K. V.*, PhD in Engineering, Associate Professor, Tyumen State Oil and Gas University;

*Pazyak A. A.*, Post-graduate, Tyumen State Oil and Gas University

#### **Calculating geometric parameters of the semi-rolled straight pan gear**

*In the given work we discuss the semi-rolled straight pan gear with a simplified procedure of its gearwheel teeth manufacturing. Due to multiple teeth meshing, it is commercially viable when producing high-load drives operating under conditions of low shaft speeds and short-term work modes.*

**Keywords:** coaxial reduction gearbox, semi-rolled pan gear, straight teeth.

Получено: 24.08.15